

This Page Is Inserted by IFW Operations
and is not a part of the Official Record

BEST AVAILABLE IMAGES

Defective images within this document are accurate representations of the original documents submitted by the applicant.

Defects in the images may include (but are not limited to):

- BLACK BORDERS
- TEXT CUT OFF AT TOP, BOTTOM OR SIDES
- FADED TEXT
- ILLEGIBLE TEXT
- SKEWED/SLANTED IMAGES
- COLORED PHOTOS
- BLACK OR VERY BLACK AND WHITE DARK PHOTOS
- GRAY SCALE DOCUMENTS

IMAGES ARE BEST AVAILABLE COPY.

**As rescanning documents *will not* correct images,
please do not report the images to the
Image Problem Mailbox.**

(10)



Europäisches Patentamt
European Patent Office
Office européen des brevets

(11) Veröffentlichungsnummer:

**0 074 422
A1**

(12)

EUROPÄISCHE PATENTANMELDUNG

(21) Anmeldenummer: 81107207.3

(51) Int. Cl.³: G 03 F 5/00

G 03 G 13/26, H 04 N 1/00

(22) Anmeldetag: 12.09.81

(43) Veröffentlichungstag der Anmeldung:
23.03.83 Patentblatt 03/12

(64) Benannte Vertragsstaaten:
AT BE CH DE FR GB IT LI NL SE

(71) Anmelder: DR.-ING. RUDOLF HELL GmbH
Grenzstrasse 1-5
D-2300 Kiel 14(DE)

(72) Erfinder: Schuster, Karl R., Prof. Dr.
Schillerstrasse 9
D-6100 Darmstadt 13(DE)

(72) Erfinder: Fischer, Gerhard, Dipl.-Ing.
Mainstrasse 10
D-6050 Offenbach(DE)

(54) Verfahren zur Herstellung von Druckformen mittels unregelmässig verteilter Druckpunkte.

(57) Verfahren zur Herstellung von Druckformen mittels unregelmässig verteilter Druckpunkte, bei dem ein Bildoriginal mit der gewünschten Detailauflösung in einzelnen Flächenelementen optisch-elektrisch abgetastet wird, wobei jedem Flächenelement eine dem Abtastsignal entsprechende Graustufe zugeordnet wird und Flächenelemente gleichen oder etwa gleichen Tonwertes zu Teilflächen zusammengefaßt werden und die einzelnen Teilflächen ihrem Tonwert entsprechend durch eine Anzahl statistisch verteilter Druckpunkte, deren gesamte Flächenbedeckung innerhalb der Teilfläche dem Tonwert der Teilfläche entspricht, wiedergegeben werden, wobei die Zusammenfassung der Teilflächen entsprechend den tatsächlichen Grenzen gleichen oder etwa gleichen Tonwertes innerhalb des Originalbildes vorgenommen wird.

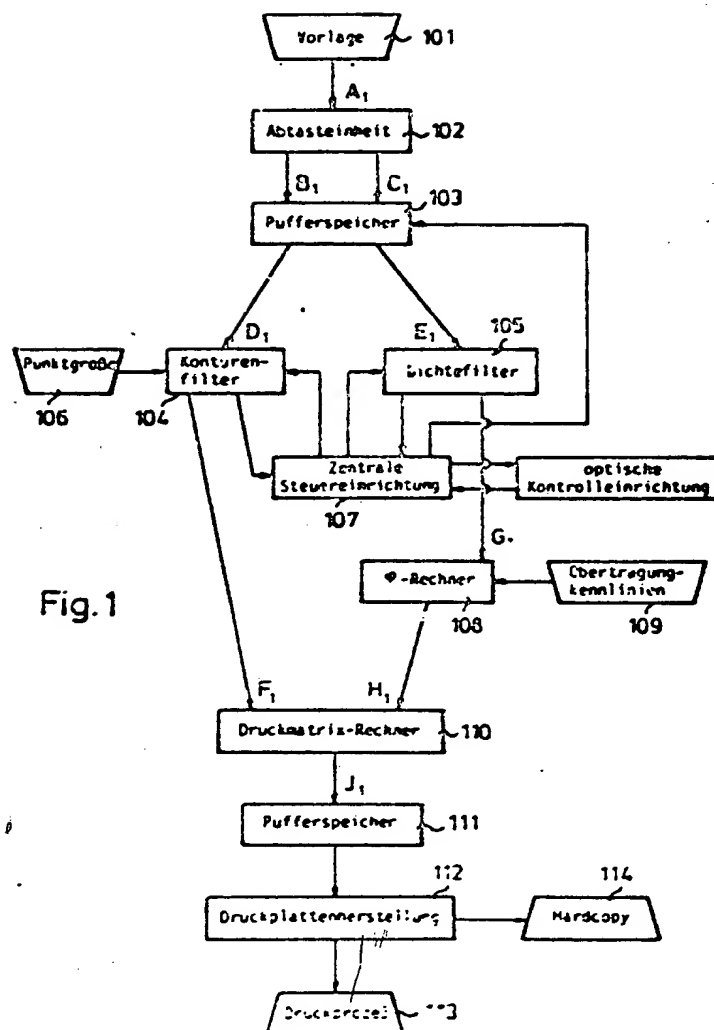


Fig. 1

- 1 -

Beschreibung

Verfahren zur Herstellung von Druckformen mittels
unregelmäßig verteilter Druckpunkte

5 Technisches Gebiet

Die vorliegende Erfindung betrifft ein Verfahren
zur Herstellung von Druckformen mittels unregel-
mäßig verteilter Druckpunkte, bei dem ein Bild-
10 original mit der gewünschten Detailauflösung in
einzelnen Flächenelementen optischelektrisch
abgetastet wird, wobei jedem Flächenelement ein
dem Abtastsignal entsprechender Tonwert zugeord-
net wird und Flächenelemente gleichen oder etwa
15 gleichen Tonwertes zu Teilflächen zusammengefaßt
werden und die einzelnen Teilflächen ihrem Tonwert
entsprechend durch eine Anzahl statistisch
verteilter Druckpunkte, deren gesamte Flächen-
bedeckung innerhalb der Teilfläche dem Tonwert
20 der Teilfläche entspricht, wiedergegeben wird.

Stand der Technik

Es ist bereits in der älteren deutschen Patent-
25 anmeldung P 29 31 098 (entspricht PCT-OS WO
80/00110) ein Verfahren zur Herstellung von
Druckformen vorgeschlagen worden, bei dem mittels

eines Zufallsgenerators eine statistische oder quasistatistische (stochastische) tonwertabhängige Verteilung von kleinsten noch druckbaren Punkten auf der Aufzeichnungsseite vorgenommen
5 wird. Dieses Verfahren arbeitet nach folgenden Schritten.

Optischelektrische Abtastung der Vorlage nach Bezugsflächen in einzelne Flächenelemente, deren
10 Größe durch die in der Reproduktion gewünschte Detailauflösung bestimmt ist, z. B. $100 \times 100 \mu\text{m}^2$, wobei z. B. 6×6 Flächenelemente eine Bezugsfläche bilden, welcher ein Aufzeichnungsbereich entspricht, in dem z. B. 12×12 kleinste noch
15 druckbare Punkte der Größe $50 \times 50 \mu\text{m}^2$ reproduzierbar sind.

Vergleich der bei der Abtastung gewonnenen Dichtewerte innerhalb jeder Bezugsfläche.
20

Zusammenfassung von Flächenelementen nahezu gleicher Dichte zu Flächenstücken jeweils einer gemeinsamen mittleren Dichte.

25 Kennzeichnung der dem jeweiligen Dichtewert entsprechenden Anzahl von kleinsten noch druckbaren Punkten innerhalb jedes Flächenstückes, wobei die Positionen dieser Punkte in einer Druckmatrix, welche zur Steuerung der Aufzeichnung dient, durch
30 einen Zufallsprozeß bestimmt werden.

Aufzeichnung gemäß der in der Matrix gespeicherten Daten in bekannter Weise mittels in der Scanner-Technik üblichen Aufzeichnungseinrichtungen, z. B.

einer Belichtungseinheit gemäß DE PS 21 07 738
(entspricht US-PS 3,725,574).

5. Bei diesem Verfahren entspricht auf der Abtast-
seite eine Bezugsfläche, die in kleineren Flächen-
elementen abgetastet wird, der Größe der Druck-
matrix.

10 Es hat sich gezeigt, daß Flächenelemente etwa
gleichen Tonwertes in der Praxis gelegentlich
über die Bezugsfläche und damit auch über die
Größe der Druckmatrix hinausragen, wodurch bei
der Aufzeichnung eine solche Fläche in gleich-
große Rechtecke oder Quadrate unterteilt wird.
15 Dadurch entsteht entweder ein übergeordnetes
Raster von der Größe der Bezugsfläche bzw. Druck-
matrix, was eventuell zu periodischen Wieder-
holungen der Anordnung der druckenden Punkte
führen kann, oder die Druckmatrix muß so groß
20 gewählt werden, daß eine periodische Wiederholung
innerhalb einer Vorlage nicht zu erwarten ist.

Darstellung der Erfindung

25 Der Erfindung liegt daher die Aufgabe zugrunde,
diese periodischen Wiederholungen mit einfacheren
Mitteln auszuschließen.

30 Diese Aufgabe wird dadurch gelöst, daß die
Zusammenfassung der Teilflächen entsprechend
den tatsächlichen Grenzen gleichen oder etwa
gleichen Tonwertes innerhalb des Originalbildes
vorgenommen wird. Eine vorteilhafte Weiterbildung
besteht darin, daß die Ermittlung der Fläche n

gleichen oder etwa gleichen Tonwertes durch eine Konturenerkennung vorgenommen wird. Diese Konturenerkennung wird in vorteilhafter Weise durch einen Vergleich der Abtastsignale bzw. der daraus
5 ermittelten Tonwerte der einzelnen Flächenelemente vorgenommen, indem bei gleichem oder etwa gleichem Tonwert die Flächenelemente zu Teilflächen zusammengefaßt werden. Eine weitere vorteilhafte Möglichkeit der Ermittlung der Flächen gleichen
10 oder etwa gleichen Tonwertes besteht darin, daß die Zusammenfassung der Flächenelemente mittels eines Konturensignals vorgenommen wird, indem alle Flächenelemente, die innerhalb zweier Konturlinien liegen, die benachbarten Dichtewerte entsprechen,
15 zusammengefaßt werden.

Weiterhin ist in vorteilhafter Weise vorgesehen, daß bei der Wiederaufzeichnung der Teilflächen einzelne Elemente der Teilflächen unterdrückt
20 werden.

Kurze Beschreibung der Zeichnungen

Die Erfindung wird im folgenden anhand der Figuren
25 1 - 4 näher dargestellt. Es zeigen

Figur 1 die schematische Darstellung einer Einrichtung zur Durchführung des Verfahrens,

30 Figuren 2a und 2b ein Ablaufschema zur Ermittlung der Verteilung der Druckpunkte,

Figur 3 die grafische Darstellung eines Ausführungsbeispiels, in welchem die Druckmatrix

- 5 -

eines Flächenstücks gemäß dem Ablaufschema nach Figuren 2a und 2b dargestellt ist,

Figur 4 die Zusammenstellung von Zwischenergebnissen einzelner Verarbeitungsschritte bei der Ermittlung der Positionen der Druckpunkte gemäß der Figuren 2a und 2b,

Figuren 5a Anordnungen zur Erzeugung eines und 5b Kontursignals mittels einer optischen Umfeldabtastung (5a) bzw. mittels eines Analogrechners (5b).

Figur 6 eine Anordnung zur Erzeugung von Zufallszahlen.

Bester Weg zur Ausübung der Erfindung

In Figur 1 wird eine Vorlage 101 entsprechend der gewünschten Detailauflösung mit einer Abtasteinheit 102 abgetastet. Für die Abtasteinheit 102 können Scanner zur Anwendung kommen, bei denen das von der Originalvorlage reflektierte oder durchgelassene Licht A_1 entsprechend den Teilfarben aufgeteilt wird, z. B. Scanner-Typ DC 350, Hersteller Dr.-Ing. Rudolf Hell GmbH, Kiel, BRD. Die den Farbauszügen zugeordneten Lichtanteile werden dabei jeweils einem Farbrechner zugeführt und dort verarbeitet. Meistens schließen sich noch Korrekturrechner an, welche teils automatisch, teils von Hand steuerbar einen Einfluß auf das Ausgangssignal des Farbrechners gestatten.

Farb- und Korrekturrechner erzeugen analoge oder digitale Signale B_1 , die jeweils dem korrigierten Dichtewert, d. h. der gewünschten Graustufe m entsprechen. Selbstverständlich können solchen
5 Abtasteinheiten in bekannter Weise (siehe z. B. DE-PS 21 07 738) mehrere parallel arbeitende Abtastköpfe, die eine Mehrspurabtastung mit der gewünschten Detailauflösung vornehmen, vorgesehen sein, um eine schnellere Abtastung zu erhalten
10 als mit nur einem Abtastkopf.

Die Abtasteinheiten können auch in bekannter Weise von einem Rechner, z. B. Rechnertyp R10 der Siemens AG, BRD, gesteuert sein, welcher die Aufnahme der Signale und ihre Übergabe an einen
15 Speicher oder eine Rechneranlage koordiniert, wie dies z. B. bei dem auf dem Markt befindlichen System CHROMACOM der Dr.-Ing. Rudolf Hell GmbH, Kiel, BRD, der Fall ist.

20 Die Abtasteinheit kann außer dem der Graustufe m entsprechenden Dichtesignal B_1 auch bereits ein Kontursignal C_1 erzeugen. Um im folgenden Zwischenspeicher 103 nicht allzuviel Speicherplatz
25 zu benötigen, kann jedoch auf die Aufnahme und Aufzeichnung des Kontursignals verzichtet werden. In diesem Falle müssen die Konturen später mit mathematischen Methoden durch Graustufenvergleiche ermittelt werden.

30 Die bekannten Möglichkeiten zur Ermittlung von Konturen werden weiter unten noch aufgeführt. Es kann weiterhin vorteilhaft sein, auf die Dichtewerte das Delta-Modulationsverfahren anzuwenden.

Für die erfindungsgemäße Einrichtung ist lediglich die Voraussetzung nötig, daß überhaupt ein Kontursignal und ein Dichtesignal erzeugt werden.

- 5 Aus der Abtasteinheit 102 gelangt das Dichtesignal B_1 und gegebenenfalls das Kontursignal C_1 in einen Pufferspeicher 103. Dieser speichert die bei der Abtastung des Originalbildes gewonnenen Daten. Seine Speicherkapazität richtet sich nach der
10 gewünschten Detailauflösung und der Größe des Originalbildes. In der Praxis werden für solche Zwecke derzeit Plattenspeicher eingesetzt (z. B. wie im System CHROMACOM der Dr.-Ing. Rudolf Hell GmbH, Kiel, BRD, z. B. eine Platte je Teilfläche,
15 so daß die bei der Abtastung gewonnenen Daten durch anschließende Rechner und Filter verändert oder durch sonstige, z. B. aus anderen Originalbildern gewonnene Daten ersetzt werden können. Häufig enthalten solche Plattenspeicher bereits
20 einen eigenen Rechner und bilden somit ein selbständiges Teilsystem, z. B. Plattenlaufwerk der Siemens AG, BRD, System 3948 B.

- Der Pufferspeicher 103 ist weiterhin mit einem
25 Konturfilter 104 und einem Dichtefilter 105 verbunden, welche die bei der Abtastung gewonnenen Signale so verarbeiten, daß ein vom Aufnahme-Rauschen befreiter Datensatz entsteht. Dies kann in bekannter Weise geschehen, indem Flächenstücke
30 gleichen oder etwa gleichen Tonwertes zusammengefaßt werden und ihr mittlerer Tonwert berechnet wird. Es ist außerdem vorteilhaft, die Druckbedingungen des verwendeten Druckverfahrens bei der Aufbereitung der Abtastsignale für den Druck-

prozeß mit einzubeziehen, z. B. indem im Kontur-
signal bereits die Fläche der druckenden Punkte
berücksichtigt wird. So kann man eine Eingabe-
möglichkeit 106 für die Punktgröße vorsehen und
5 die Ränder der Flächenstücke gegebenenfalls glätten,
so daß das Ausgangssignal F_1 des Konturenfilters
104 bereits den Konturen der Reproduktion ent-
spricht, welche dadurch bis auf die Digitali-
sierung - gegeben durch die Fläche der druckenden
10 Punkte - mit den Konturen der Vorlage überein-
stimmen können. Weiterhin hat es sich in der
Praxis bewährt, eine zentrale Steuereinrichtung
107 vorzusehen, die den Datenaustausch des
Zwischenspeichers 103 mit dem Konturenfilter 104
15 und dem Dichtefilter 105 steuert, und eine optische
Kontrollleinrichtung, z. B. ein Sichtterminal,
enthält. Pufferspeicher, Konturen- und Dichte-
filter und zentrale Steuereinrichtung können in
vorteilhafter und bekannter Weise eine Einheit
20 bilden, z. B. das o. a. System CHROMACOM der
Dr.-Ing. Rudolf Hell GmbH, Kiel, BRD, in welches
auch die sich anschließenden -Rechner 108, Druck-
matrix-Rechner 110 und Pufferspeicher 111 in
vorteilhafter Weise mit einbezogen werden können.
25 Die Aufgaben von Konturen- und Dichtefilter sowie
von -Rechner und Druckmatrixrechner können ins-
besondere auch durch Rechenprogramme aufgeführt
werden. Rechenprogramme zur Konturfindung und
Dichtefilterung sind aus der Literatur zur digi-
30 talen Bildverarbeitung in großer Anzahl bekannt
(siehe z. B. Angewandte Szenenanalyse, DAGM
Symposium, Karlsruhe, 10. - 12.10.79, Springer-
Verlag, Berlin-Heidelberg-New York 1979). Daher
ist prinzipiell eine Rechanlage, die über die

nötigen Speicher (103 und 111) verfügt bzw. diese ansteuern kann, die entsprechenden Rechenprogramme verarbeiten kann und von einem Kontrollterminal aus steuerbar ist (z. B. Type R 30 der Siemens AG, BRD) dazu geeignet, die o. a. diskreten Baugruppen zu ersetzen.

Das Ausgangssignal G_1 des Dichtefilters 105 wird einem Ψ -Rechner 108 zugeführt, der die Flächen-
10 deckungsgrade H_1 der einzelnen Flächenstücke gleichen oder etwa gleichen Tonwertes aus den Dichtesignalen berechnet, wobei in vorteilhafter Weise eine Eingabemöglichkeit 109 für die im
folgenden Reproduktionsprozeß zu berücksichtigenden
15 Übertragungskennlinien, z. B. die Plattenkopier- und die Druckkennlinie, vorgesehen ist. Der Ψ -Rechner kann in bekannter Weise mit Hilfe eines Speichers realisiert werden, aus welchem der dem Dichtesignal zugehörige Ψ -Wert bzw. der Flächen-
20 deckungsgrad H_1 abgerufen wird, und einen Rechner enthalten, um z. B. aus einzelnen gespeicherten Kennlinienpunkten eine linearisierte Kennlinie zu berechnen. Der Ψ -Rechner kann in vorteilhafter Weise durch ein Rechenprogramm
25 ersetzt werden, welches entweder durch Zuordnung in einer Matrix oder durch einen oder mehrere Näherungsalgorithmen (z. B. polynomischer Ausdruck) denjenigen Ψ -Wert bzw. den Flächendeckungsgrad H_1 bestimmt, der der gewünschten bzw. der berechneten
30 Dichtestufe entspricht.

Die erfindungsgemäße Einrichtung erzeugt aus den Signalen für Kontur F_1 und Flächendeckungsgrad H_1 in einem Druckmatrixrechner 110 ein Signal J_1 ,

- 10 -

welches die Positionen der druckenden Punkte angibt. Dies wird später ausführlich beschrieben.

5 Der Druckmatrixrechner 110 ist mit einem Puffer-
speicher 111 verbunden, wodurch die Druckplatten-
herstellung 112 mit dem daran anschließenden
Druckprozeß 113 und einer Hardcopyausgabe 114 zur
Proof-Herstellung auf einfache Weise von der
Bearbeitung der Vorlage getrennt werden kann.

10

Der Pufferspeicher 111 kann z. B. wiederum ein
Plattenspeicher sein. Seine Größe ist abhängig
von der Fläche der Reproduktion und der Fläche
der druckenden Punkte. Ist die Kantenlänge eines
15 quadratischen, druckenden Punktes z. B. 25 μ m und
die Fläche der Reproduktion z. B. 17 cm x 25 cm,
dann muß entsprechend für 68.000.000 quadratische
Punkte die Information gespeichert werden, ob der
entsprechende Punkt gedruckt oder farbfrei sein
20 soll. Die nötige Speicherkapazität ist also in
diesem Fall 68 Mbit für jede Teilfarbe.

Die Druckplattenherstellung 112 kann z. B. erfol-
gen, indem in bekannter Weise, z. B. mit einem
25 Scanner, die im Pufferspeicher aufgezeichneten
Daten auf einen Film belichtet werden, von wo sie
anschließend auf die Auflagendruckplatte kopiert
werden.

30 Die Druckplattenherstellung kann in vorteilhafter
Weise auch durch direkte Übertragung der im
Pufferspeicher aufgezeichneten Daten auf einen
Tiefdruckzylinder (autotypischer Tiefdruck) oder
auf eine Druckplatte erfolgen.

Vom Film kann zuvor in bekannter Weise eine Hardcopy erstellt werden (z. B. CROMALIN-Verfahren der Fa. DUPONT DE NEMOURS, Orsay, Frankreich) oder ein Ausdruck mit Hilfe einer Druckplatte (Andruck).

5

Eine Hardcopy kann auch direkt aus dem Pufferspeicher erzeugt werden, z. B. durch Ink-Jet oder Thermo-Druck.

- 10 In den Figuren 2a und 2b ist ein Ablaufschema zur Ermittlung der Verteilung der Druckpunkte dargestellt, womit ein beispielhaftes Verarbeitungsschema des Druckmatrixrechners 110 in Figur 1 bzw. der Programmablaufplan des ihn substituierenden
- 15 Rechenprogrammes angegeben wird.

- Aus dem Ausgangssignal F_1 des Konturenfilters 104 (Figur 1) wird zunächst die Zahl N_p der innerhalb der Kontur druckbaren Punkte bestimmt,
- 20 was z. B. aus dem aufzeichnungsseitigen Raster kleinster noch druckbarer Punkte und aus den Grenzen der Flächenstücke gleichen Tonwertes durch Abzählen der innerhalb jeder Kontur liegenden Rasterelemente erfolgen kann (z. B. $N_p = 860$).
- 25 Der Flächendeckungsgrad H_1 besagt, wieviele der innerhalb der Kontur liegenden Rasterelemente bedruckt werden sollen. Um eine möglichst schnelle Verarbeitung zu gewährleisten, wird zunächst
- 30 geprüft, ob es günstiger ist, die Positionen der druckenden Punkte oder die der nicht druckenden Punkte zu bestimmen. Falls z. B. 3,85 % der 860 innerhalb der Kontur druckbaren Punkte druckende Punkte sind, ist es günstiger, deren Positionen zu bestimmen, während es demgegenüber günstig r

ist, die Positionen der nicht druckenden Punkte zu bestimmen, wenn z. B. 96,15 % der druckbaren Punkte druckende Punkte sind. In beiden Fällen ist die gleiche Anzahl von Punkten N_k zu kennzeichnen, nämlich $860:3,85 \% = 860:(100 \% - 96,15 \%) = 33$ Punkte. Die Grenze ist also bei 50 % erreicht.

Um diese 33 Punkte innerhalb der 860 möglichen Positionen relativ gleichmäßig zu verteilen, unterteilt man zweckmäßig die Gesamtfläche, d. h. die von der Kontur eingerahmte Fläche in 33 etwa gleichgroße Teilflächen, die dann N_T -Elemente aufweisen. So bleiben z. B. für die

1. Teilfläche $N_{T1} = 26$ Punkte aus $860:33=26,061$

und für die

2. Teilfläche $N_{T2} = 26$ Punkte aus $860:32=26,063$

und für die

3. Teilfläche $N_{T2} = 26$ Punkte aus $808:31=26,065$,

schließlich für die

33. Teilfläche $N_{T33} = 26$ Punkte aus $26:1=26,000$,

von denen jeweils ein Punkt zu kennzeichnen ist. Außerdem ist es vorteilhaft, den einzelnen Teilflächen etwa die gleiche Form zu geben, z. B. näherungsweise quadratisch. Dies kann dadurch erreicht werden, daß man die Kontur in einzelne

Streifen der Breite B zerlegt, was später anhand von Figur 3 näher erläutert wird. Die Streifenbreite B ist z. B. aus der Zahl N_T der innerhalb einer Teilfläche liegenden Punkte bestimmbar

5

$$B = 5 \text{ aus } \sqrt{26} = 5,099.$$

Das Ausgangssignal F_1 des Konturenfilters 104 in Figur 1 kann eine binäre Matrix sein, wobei
 10 z. B. die innerhalb der Kontur liegenden Punkte mit 1, die übrigen mit 0 gekennzeichnet sind. Aus dieser können Teilmatrizen erzeugt werden, wobei also die Streifenbreite B berücksichtigt wird, indem alle Teilmatrizen z. B. 5 Spalten
 15 haben und die Anzahl ihrer Zeilen aus der Kontur abgeleitet wird, z. B. durch Abzählen von N_{Ti} Elementen mit L für die i -te Teilfläche.

Den im o. a. Beispiel 26 Elementen der ersten
 20 Teilfläche können nun z. B. 26 verschiedene Zufallszahlen zugeordnet werden, welche z. B. aus einem Speicher abgerufen werden können, so daß eine Zufallsmatrix entsteht, und die Auswahl eines Elementes kann z. B. dadurch erfolgen, daß das
 25 Element mit dem höchsten Zahlenwert gesucht wird. Dieses ausgewählte Element entspricht im gewählten Beispiel einem druckenden Punkt. Die Zufallszahlen müssen nicht wirklich verschieden sein, da man auch dasjenige Element auswählen kann, welchem
 30 keines mit einem höheren Zahlenwert folgt, d. h. das erste, falls zufällig die gleiche Zahl zweimal auftritt.

Man kann auch das Element mit dem niedrigst n

Zahlenwert oder das am dichtesten bei einem vorgegebenen Zahlenwert liegende suchen. Man kann auch einzelnen Elementen einer Teilfläche keine Zufallszahl und z. B. stattdessen die Zahl 0 zuordnen, d. h. es wird dort kein Punkt gedruckt, um die Wiedergabe von Konturen zu verbessern oder um Punktanhäufungen an den Kanten oder Ecken der Teilflächen zu verhindern. Hierzu bieten sich verschiedene Verfahren an. Ein sehr einfaches ist z. B. der Vergleich mit einer Schwellenbreite B_G . Ist die Streifenbreite B größer als B_G , so kann man die entsprechenden Elemente unterdrücken, d. h. ihnen die Zahl 0 zuordnen, z. B. in jeder Zeile das 1. und 5. Element, falls $B_G = 3$ war. Dasselbe Verfahren kann man auch auf die Spalten anwenden, so daß sich sehr viele Möglichkeiten eröffnen. Ebenso kann eine Randpunktunterdrückung für die Gesamtkontur, die also z. B. jedem am Rand der Fläche liegenden Element den Zahlenwert 0 zuordnet, vorgesehen sein, um eine Konturverwischung sicher auszuschließen.

Die Auswahl jeweils eines Elementes aus den Elementen einer Teilfläche kann für alle Teilflächen nach demselben Schema erfolgen, sie kann aber auch unter verschiedenen Schemata variiert werden. Nach Bearbeitung einer Teilfläche kann N_p und N_T vermindert werden, so daß N_p dann der Restzahl der innerhalb der Kontur druckbaren Punkte entspricht. Die Verarbeitung aller Teilflächen einer Kontur ist also beendet, wenn $N_p = N_T$ ist.

Figur 3 zeigt eine beispielhafte Kontur 301, die

860 druckbare Punkte, d. h. aufzeichnungsseitige Rasterelemente enthält. Die gewählte Darstellungsform soll einen Eindruck des zu erwartenden Druckbildes vermitteln und gleichzeitig die
5 Verarbeitung für die einzelnen Teilflächen transparent und nachvollziehbar skizzieren.

Die größte Ausdehnung der gewählten Kontur ist in x-Richtung 44 Rasterelemente, in y-Richtung
10 30 Rasterelemente, so daß das Ausgangssignal F_1 des Konturenfilters 104 (Figur 1) z. B. eine binäre Matrix (44 x 30) sein könnte, in welcher die innerhalb der Kontur liegenden Elemente mit L und die außerhalb liegenden mit 0 gekennzeichnet
15 wären. Der Flächendeckungsgrad H_1 (Figur 1) sei 3,85 %, so daß alle in der Beschreibung zu den Figuren 2a und 2b beispielhaft berechneten Werte übernommen werden können. Die Kontur wird also zunächst entsprechend der berechneten Streifen-
20 breite ($B = 5$ Rasterelemente) und der berechneten Teilflächengröße (z. B. $N_{T1} = 26$ Rasterelemente) aufgeteilt, so daß annähernd quadratische Teilflächen, z. B. 302, 303 entstehen, solange nicht der Rand der Gesamtfläche diese Form stört. Die
25 am Rand der Kontur liegenden Teilflächen, z. B. 304, sind häufig aus 2 Teilstücken, z. B. 304a und 304b, zusammengesetzt. Dies ist in Figur 3a gesondert dargestellt. Die Länge einer solchen Teilfläche ist dadurch von der Kontur abhängig,
30 daß die ihr zugeordnete Teilmatrix z. B. 26 innerhalb der Kontur liegende Rasterelemente enthält. Die Bearbeitung einzelner Teilflächen wird anhand von Figur 4 noch ausführlich beschrieben, wo auch die Berechnung der Position n

der druckenden Punkte erklärt ist. Die druckenden Punkte sind an den für sie berechneten Positionen eingetragen. Man kann sehen, daß zur Berechnung ihrer Positionen eine Randpunktunterdrückung
5 innerhalb der Teilflächen benutzt wurde, um eine sonst mögliche Anhäufung an den Kanten und Ecken der Teilflächen auszuschließen. Eine für die Kontur geltende Randpunktunterdrückung ist zwar grundsätzlich möglich, hier jedoch nicht aufgeführt, so daß auch am Rand der Kontur druckende
10 Punkte zu finden sind.

Figur 4 zeigt die Berechnung der Positionen der druckenden Punkte für die beispielhaften Teilflächen 302, 303 und 304 aus Figur 3 in den
15 einzelnen Verarbeitungsschritten gemäß Figur 2.

Im ersten Schritt a) sind die binären Matrizen 402, 403 und 404 dargestellt, die entstanden sind,
20 indem die Daten der hier nicht dargestellten Konturmatrix stückweise entsprechend jeder Teilfläche übernommen wurden, wobei die Spaltenzahl 5 mit der Streifenbreite B identisch ist, und die Zeilenzahl sich nach der Anzahl der innerhalb
25 der Kontur liegenden Elemente jeder Teilfläche richtet, wobei die außerhalb der Teilfläche liegenden Elemente ebenso behandelt werden wie die außerhalb der Kontur liegenden, d. h. sie werden 0 gesetzt. Diese binären Matrizen enthalten
30 also genau so viele 1 wie die entsprechende Teilfläche Elemente hat, z. B. 26 für die erste Teilfläche.

Im zweiten Schritt b) werden z. B. die Randpunkte

der binären Teilflächenmatrizen unterdrückt, d. h. auf 0 gesetzt, z. B. die erste Spalte, ebenso die erste und letzte Zeile sowie die zweite Zeile, falls die erste nicht vollständig besetzt war
 5 (d. h. weniger als 5 Elemente mit L hat), bzw. die vorletzte Zeile, falls die letzte nicht vollständig war. Dadurch entsteht vor der binären Teilflächenmatrix 402 die binäre Teilflächenmatrix 412, die dann durch die Rasterpunktunterdrückung
 10 weniger Elemente mit L aufweist, z. B. noch 9 statt vorher 16. Man könnte auch z. B. die Randpunkte der gesamten Kontur unterdrücken, indem zunächst alle einer 0 benachbarten Elemente 0
 15 gesetzt werden und anschließend die erste und letzte Zeile und Spalte 0 gesetzt werden, soweit dies nicht bereits geschehen ist.

Im dritten Schritt c) werden die Elemente, die ein L haben, mit einer Zufallszahl überschrieben.
 20 Die Zufallszahlen sind in diesem Beispiel dem folgenden Zufallszahlenvektor, der 37 verschiedene Zahlenwerte enthält und zyklisch durchlaufen wurde, entnommen:

25 34; 9; 31; 17; 22; 19; 12; 23; 29; 4;
 3; 13; 1; 35; 20; 11; 28; 6; 36; 2;
 14; 27; 16; 21; 7; 18; 33; 25; 5; 15;
 37; 8; 24; 26; 10; 32; 30

30 Die erste Teilflächenmatrix 412 enthält nach dem zweiten Verarbeitungsschritt der Randpunktunterdrückung noch 9 Elemente mit L und wird an diesen Stellen mit den ersten 9 Elementen des Zufallszahlenvektors überschrieben, wodurch eine Zufalls-

- matrix 422 entsteht. Die zweite Teilflächenmatrix 413 enthält die nachfolgenden 6 Elemente des Zufallszahlenvektors. Die folgenden drei Teilflächenmatrizen enthalten, wie man anhand von
- 5 Figur 3 leicht nachvollziehen kann, wiederum 6, 6 und 9 Zufallszahlen, so daß in der sechsten Teilflächenmatrix 424 der Zufallszahlenvektor nach dem ersten Element einmal durchlaufen ist und die Zahlen wieder von vorn eingelesen werden.
- 10 Wie bereits erwähnt wurde, können auch Zufallszahlen eingelesen werden, die z. B. mit einem Rauschgenerator gewonnen werden können, die also wirklich zufällig sind.
- 15 Im vierten Schritt d) wird ein Element jeder Teilflächenmatrix ausgewählt und mit einem L markiert, z. B. das mit dem höchsten Zahlenwert (falls die gleiche Zufallszahl in einer Teilflächenmatrix nicht zweimal auftreten kann).
- 20 Diese Matrix, z. B. 432, die also nur 1L enthält, muß noch invertiert werden, falls $H \geq 50 \%$ ist, so daß sie nur eine 0 enthält. Dadurch ist die Position des einen druckenden bzw. des einen nicht druckenden Punktes (falls $H \geq 50 \%$ ist)
- 25 festgelegt, indem allen druckenden Punkten ein L und allen nicht druckenden Punkten eine 0 zugeordnet ist. Die einzelnen Teilflächenmatrizen werden anschließend in eine binäre Matrix übertragen und zusammengestellt, die der Konturmatrix
- 30 entspricht. Diese ist hier wiederum nicht dargestellt.

Figur 5a zeigt ein bekanntes Prinzipschaltbild (siehe z. B. DE-AS 10 39 842) zur Ermittlung von

Konturlinien, wobei gleichzeitig ein Punkt und dessen Umfeld abgetastet werden. Die Originalvorlage 501 wird von einer Lichtquelle 502 mittels einer geeigneten optischen Einrichtung 503, die
5 z. B. eine Linse oder ein Linsensystem oder ein Lichtleiter sein kann, beleuchtet. Das von der Vorlage remittierte Licht A_5 wird mittels einer optischen Einrichtung 504, welche zum Teil verspiegelt (505) ist und eine Bohrung enthält,
10 aufgeteilt, so daß das vom Abtastpunkt remittierte Licht B_5 einem optoelektrischen Wandler 506 und das vom Umfeld des Abtastpunktes remittierte Licht C_5 gebündelt (507) und einem optoelektrischen Wandler 508 zugeführt wird. Dadurch
15 entsteht ein elektrisches Signal D_5 , welches dem vom Abtastpunkt remittierten Licht proportional ist, und ein elektrisches Signal E_5 , welches dem vom Umfeld des Abtastpunktes remittierten Licht proportional ist. Durch Vergleich
20 der beiden elektrischen Signale erhält man eine Aussage darüber, ob der vom Abtastpunkt remittierte Lichtanteil sich von dem seines Umfeldes unterscheidet. Als Ausgangssignal F_5 des Differenzverstärkers 509 erhält man daher das Kontur-
25 signal.

Figur 5b zeigt ein bekanntes Prinzipschaltbild (siehe z. B. U. Tietze, Chr. Schenk, Halbleiterschaltungstechnik, Springer-Verlag, Berlin-
30 Heidelberg-New York) zum Vergleich von Spannungssignalen. Dies kann man zur Erzeugung eines Kontursignals benutzen, indem man die Originalvorlage rasterartig abtastet, die von den Abtastpunkten reflektierten oder transmittierten Licht-

signale wie oben dargestellt, in optoelektrischen Wandlern in Spannungssignale umformt und sie einem Differenzverstärker 550 zuführt. Das dem Meßpunkt zugeordnete Spannungssignal U_{10} wird
 5 hierbei mit dem aus den Spannungssignalen $U_1 \dots U_8$, die den benachbarten Abtastpunkten zugeordnet sind, erzeugten Signal verglichen, so daß das Ausgangssignal U_{20} des Differenzverstärkers 550 das gewünschte Kontursignal ist. Wählt man z. B.
 10 die Widerstände so, daß $R_p = R_N$ und $R_{N1} = R_{N2} = \dots R_{N8} = 8R_p$ ist, dann ist das Konturspannungssignal

15

$$U_{20} = U_{10} - \frac{1}{8} \cdot \sum_{i=1}^8 U_i$$

20 Figur 6 zeigt eine Anordnung zur Erzeugung von Zufallszahlen, wobei die zufälligen Spannungswerte einer Rauschquelle, z. B. eines Widerstands R_1 , verstärkt und in die digitale Form umgewandelt werden. Zu diesem Zweck kann man einen
 25 Differenzverstärker 600 in bekannter Weise als Bandpaßverstärker beschalten, so daß die an seinem Ausgang liegenden Spannungswerte nicht durch Spannungen, die eventuell nicht zufällig sein könnten, z. B. Brummspannungen, gestört sind.
 30 Die Ausgangsspannungen des Differenzverstärkers können einem Analog-Digital-Wandler zugeführt werden, der das, an seinem Eingang anliegende analoge Spannungssignal in bekannter Weise z. B. in ein 8-bit-Digitalsignal umwandelt (Hersteller

z. B. TRW, Typ TDC 1007 J), wobei die Umwandlung des momentanen analogen Spannungssignals nur erfolgt, wenn der Takteingang ein entsprechendes Signal erhält, und das Digitalsignal am Ausgang des A/D-Wandlers so lange gespeichert bleibt, bis
5 ein weiteres Taktsignal die Berechnung des nächsten Digitalsignals auslöst. Der Takteingang kann so z. B. direkt von dem Druckmatrixrechner 110 in Figur 1 angesteuert werden, indem ein neues Digital-
10 talsignal immer dann berechnet wird, wenn das entsprechende Element einer Teilflächenmatrix, z. B. der Teilflächenmatrix 412 in Figur 4, den Wert L hat und mit einer Zufallszahl überschrieben werden soll.

Gegenstand der ErfindungPatentansprüche

- 5 1. Verfahren zur Herstellung von Druckformen
mittels unregelmäßig verteilter Druckpunkte,
bei dem ein Bildoriginal mit der gewünschten
Detailauflösung in einzelnen Flächenelementen
optischelektrisch abgetastet wird, wobei jedem
10 Flächenelement eine dem Abtastsignal entspre-
chende Graustufe zugeordnet wird und Flächen-
elemente gleichen oder etwa gleichen Tonwertes
zu Teilflächen zusammengefaßt werden und die
einzelnen Teilflächen ihrem Tonwert entsprechend
15 durch eine Anzahl statistisch verteilter
Druckpunkte, deren gesamte Flächenbedeckung
innerhalb der Teilfläche dem Tonwert der Teil-
fläche entspricht, wiedergegeben werden,
dadurch gekennzeichnet, daß die Zusammenfassung
20 der Teilflächen entsprechend den tatsächlichen
Grenzen gleichen oder etwa gleichen Tonwertes
innerhalb des Originalbildes vorgenommen wird.
- 25 2. Verfahren nach Anspruch 1, dadurch gekennzeich-
net, daß die Ermittlung der Flächen gleichen
oder etwa gleichen Tonwertes durch eine
Konturenerkennung vorgenommen wird.
- 30 3. Verfahren nach Anspruch 2, dadurch gekennzeich-
net, daß die Konturenerkennung durch Vergleich
der Dichtewerte (Tonwerte) der Abtastsignale
der einzelnen Flächenelemente vorgenommen wird,
indem bei gleichem oder etwa gleichem Tonwert
die Flächenelemente zu Teilflächen zusammen-

gefaßt werden.

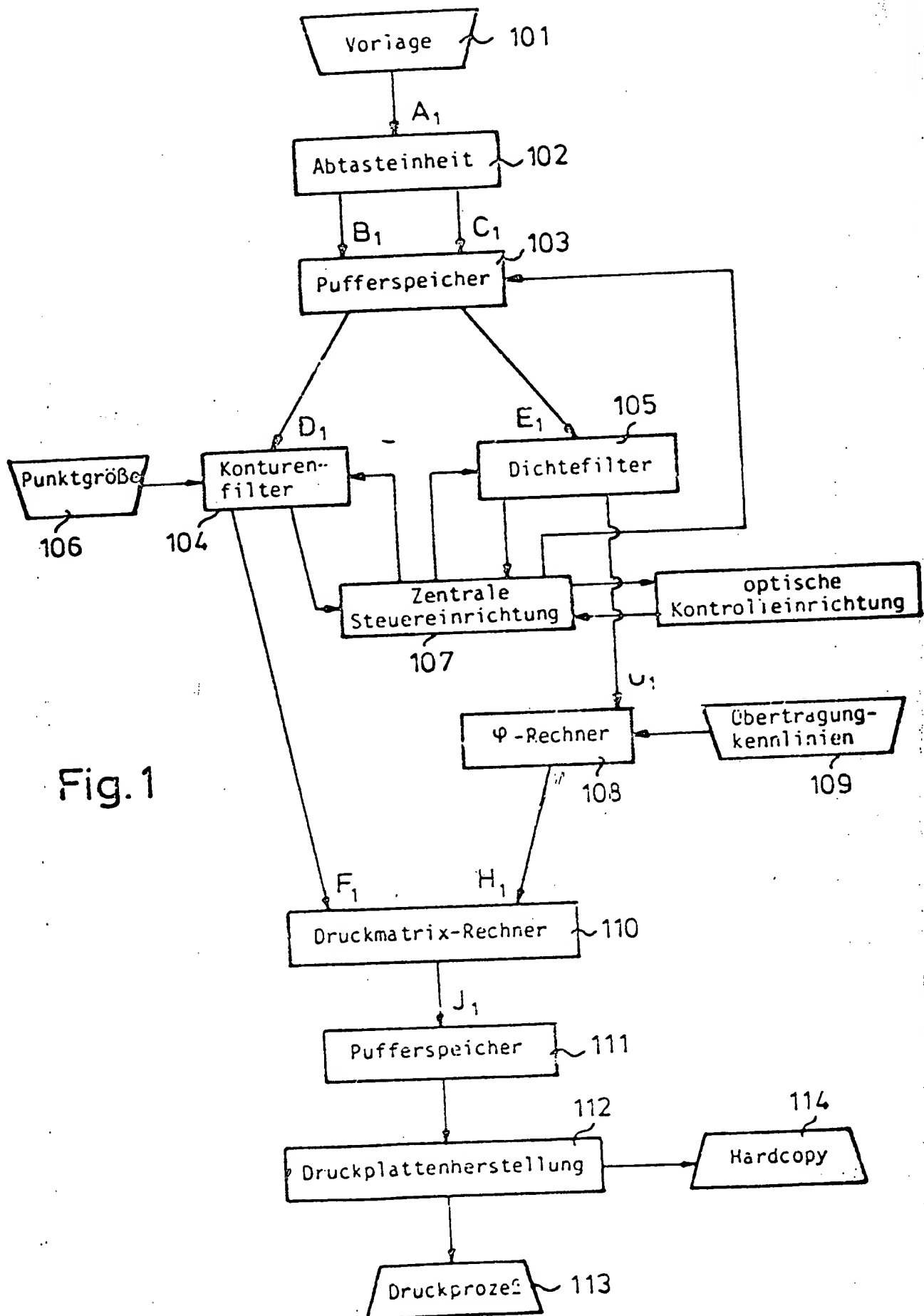
- 5 4. Verfahren nach Anspruch 2, dadurch gekennzeichnet, daß die Zusammenfassung der Flächenelemente mittels eines Konturensignals vorgenommen wird, indem alle Flächenelemente, die innerhalb zweier Konturlinien liegen und etwa gleiche Dichtewerte haben, zusammengefaßt werden.
- 10 5. Verfahren nach Anspruch 1, dadurch gekennzeichnet, daß bei der Wiederaufzeichnung der Teilflächen an den Rändern der Teilflächen gegebenenfalls einzelne Elemente einer Teilfläche unterdrückt werden.

EPA-EPO-OES
DG 1
Dossier
31 AUG. 1982

4. 2-CHLOR-5-NITRO-1,3-DIMETHYL-6-METHYLBENZENE SULFONAMIDE

GRENZSTR 1-5 7200 KIEL 14
20. August 1982

EXT. 3124



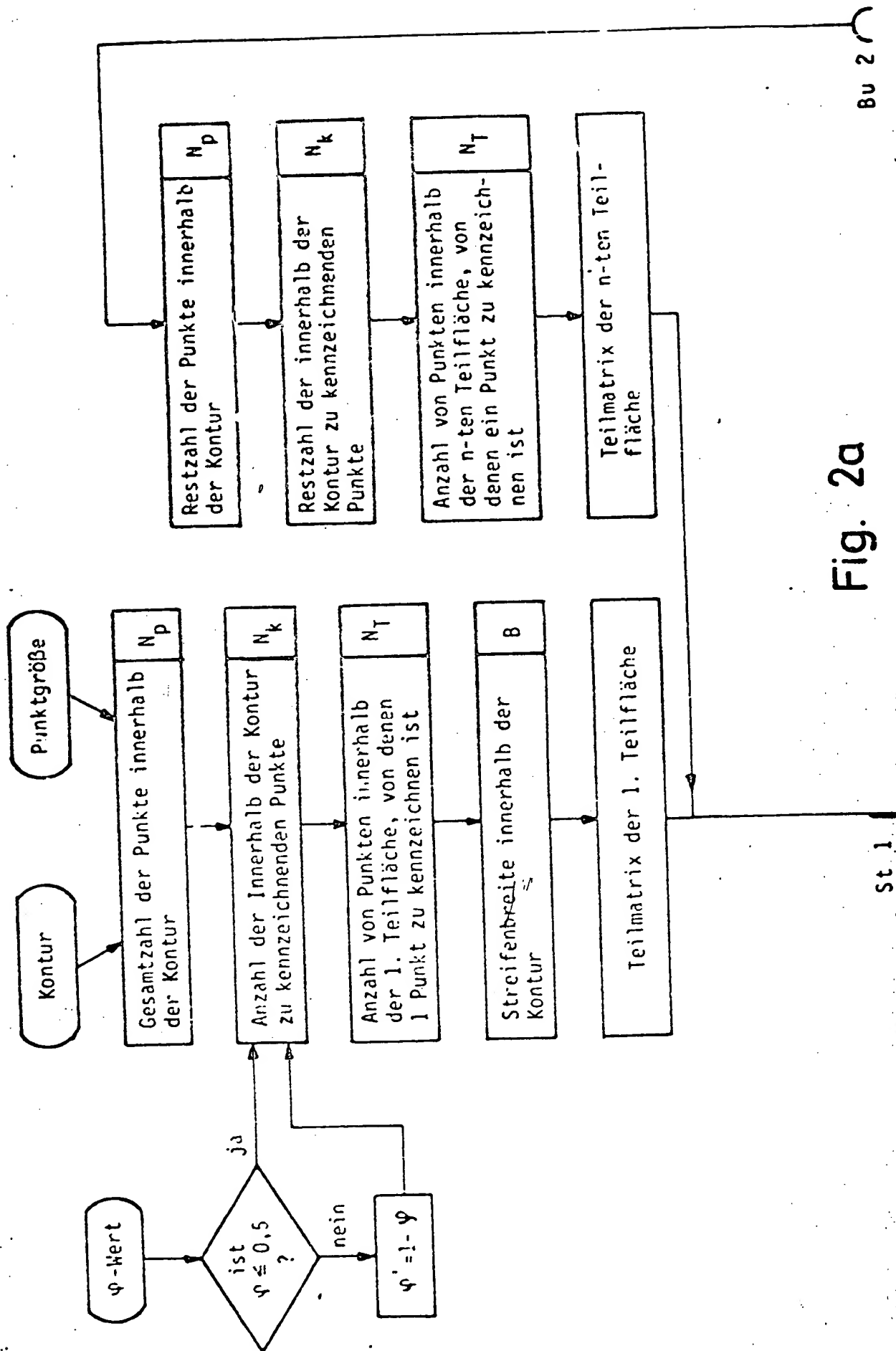


Fig. 2a

St 2

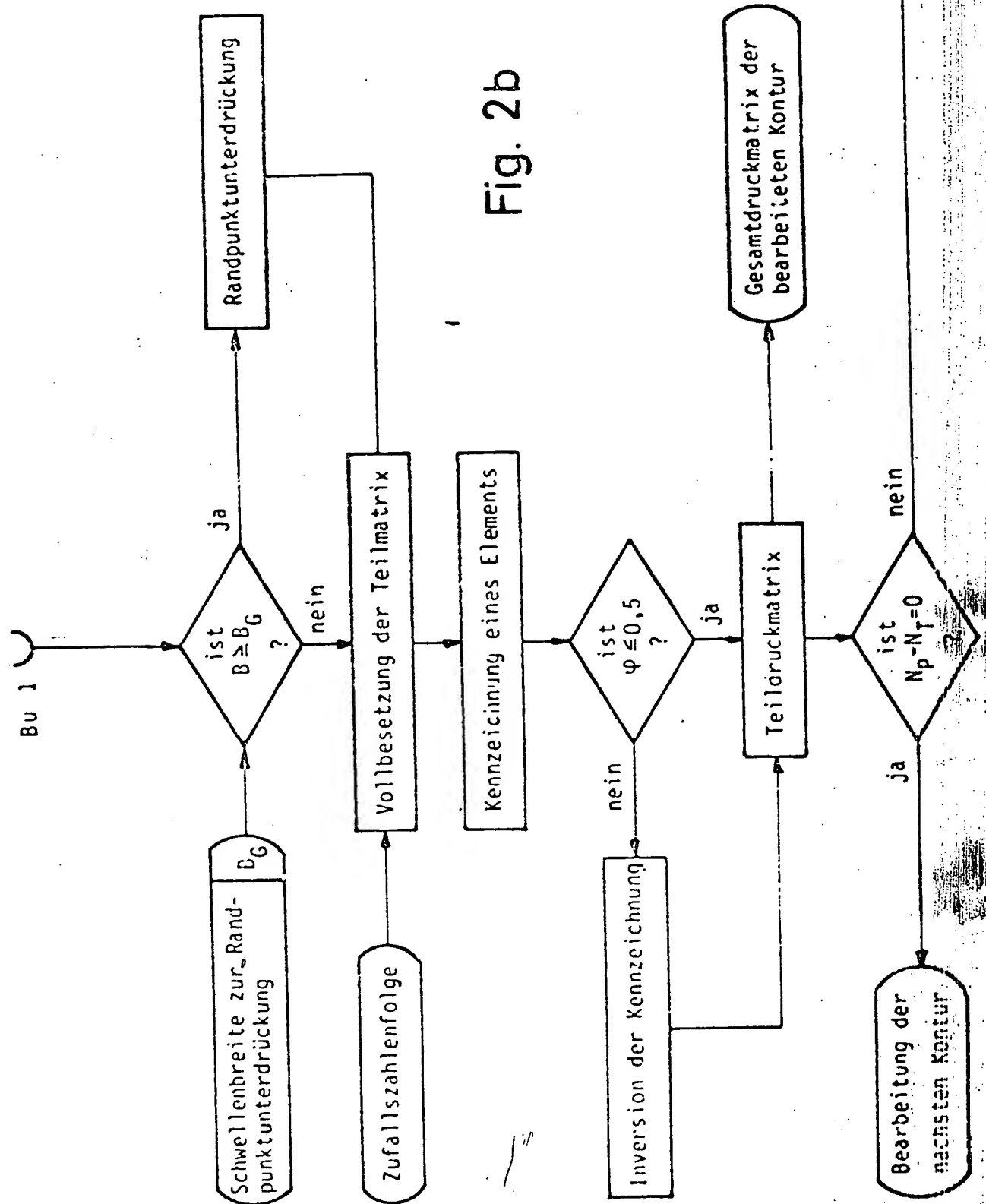


Fig. 2b

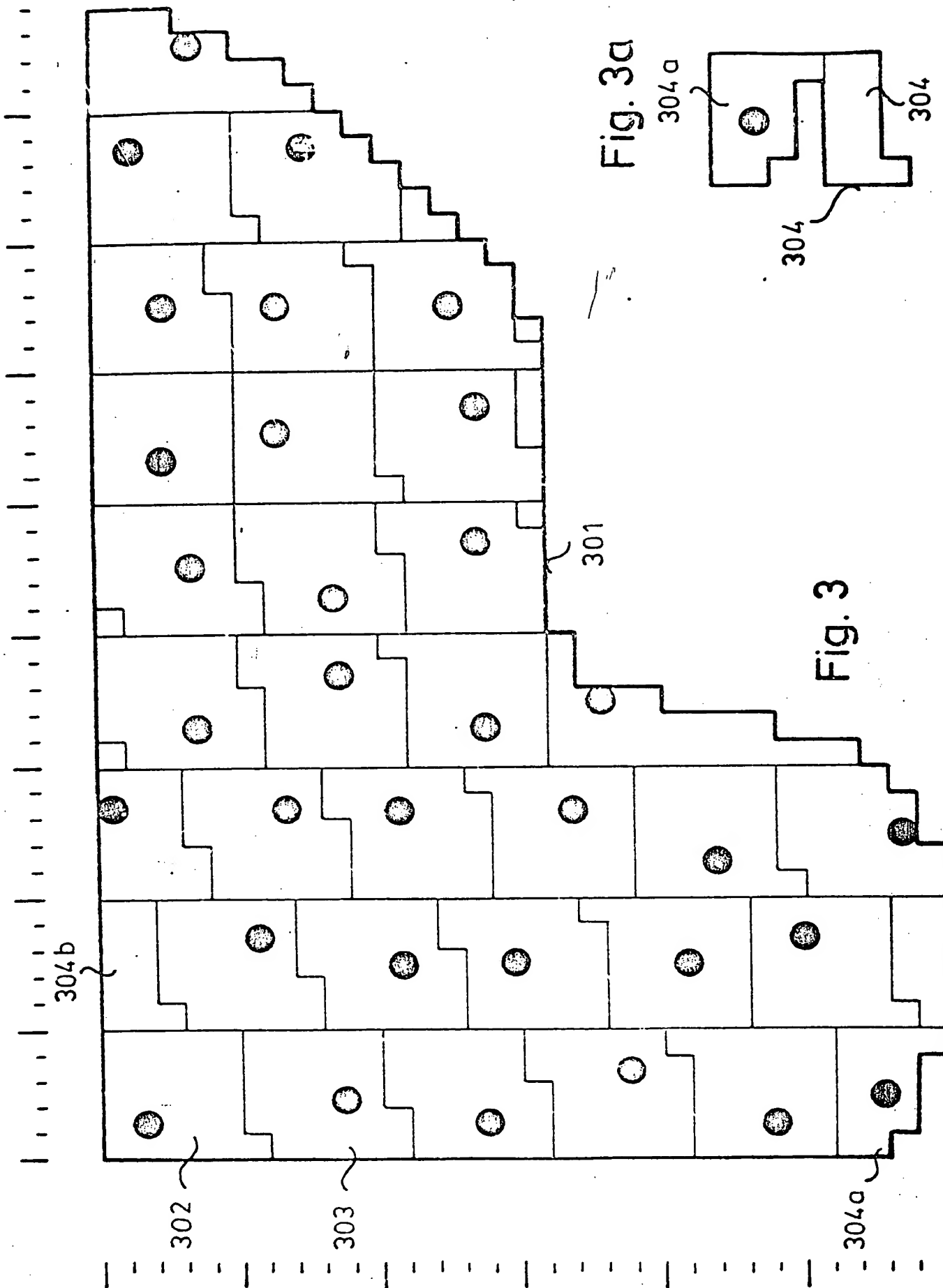
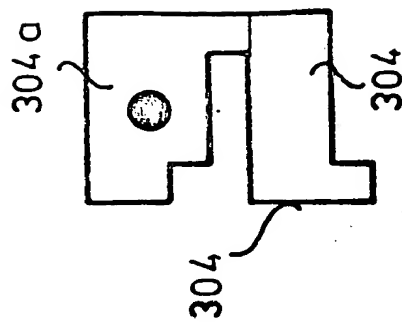


Fig. 3a



432

O	O	O	O	O
O	L	O	O	O
O	O	O	O	O
O	O	O	O	O
O	O	O	O	O
O	O	O	O	O

433

O	O	O	O	O
O	O	O	O	O
O	O	O	O	O
O	O	L	O	O
O	O	O	O	O
O	O	O	O	O

434

O	O	O	O	O
O	O	L	O	O
O	O	O	O	O
O	O	O	O	O
O	O	O	O	O
O	O	O	O	O

422

O	O	O	O	O
O	34	9	31	O
O	17	22	19	O
O	12	23	29	O
O	O	O	O	O
O	O	O	O	O

423

O	O	O	O	O
O	O	O	O	O
O	4	3	13	O
O	1	35	20	O
O	O	O	O	O
O	O	O	O	O

424

O	O	O	O	O
O	30	34	9	O
O	31	17	22	O
O	O	O	O	O
O	19	12	23	O
O	O	O	O	O
O	O	O	O	O

412

O	O	O	O	O
O	L	L	L	O
O	L	L	L	O
O	L	L	L	O
O	O	O	O	O
O	O	O	O	O

413

O	O	O	O	O
O	O	O	O	O
O	L	L	L	O
O	L	L	L	O
O	O	O	O	O
O	O	O	O	O

414

O	O	O	O	O
O	L	L	L	O
O	L	L	L	O
O	L	L	L	O
O	O	O	O	O
O	O	O	O	O

402

L	L	L	L	L
L	L	L	L	L
L	L	L	L	L
L	L	L	L	L
L	L	L	L	L
L	O	O	O	O

403

O	L	L	L	L
L	L	L	L	L
L	L	L	L	L
L	L	L	L	L
L	L	L	L	L
L	L	O	O	O

404

L	L	L	L	L
L	L	L	L	L
O	L	L	L	L
O	O	O	L	L
L	L	L	L	L
L	O	O	O	O

d)

c)

b)

a)

Fig. 4

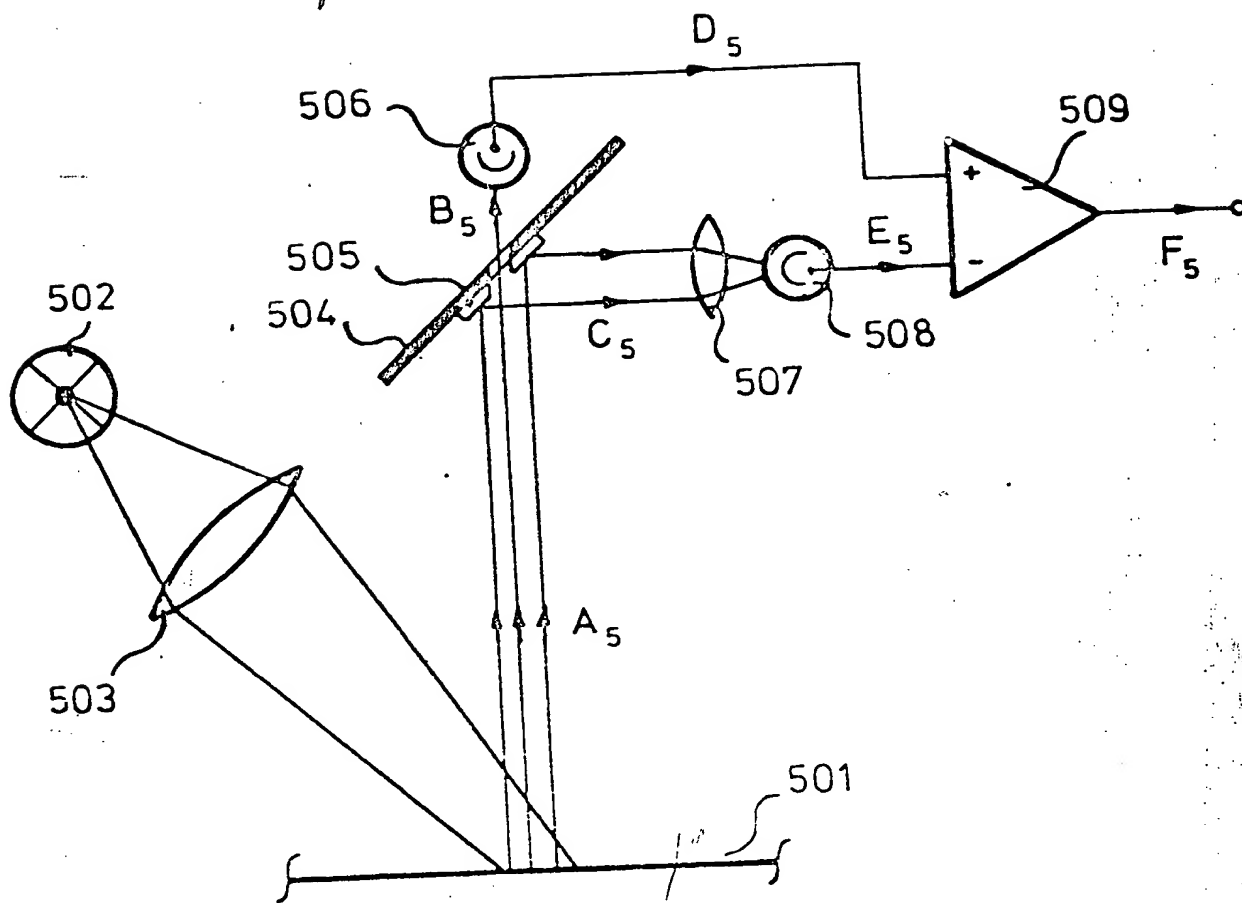


Fig. 5a

7/8

0074422

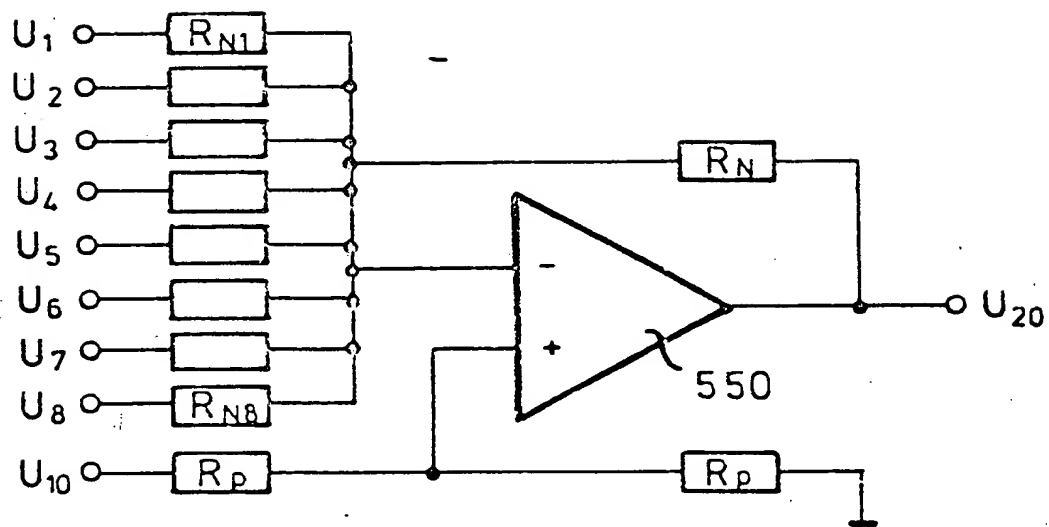


Fig. 5b

8/8

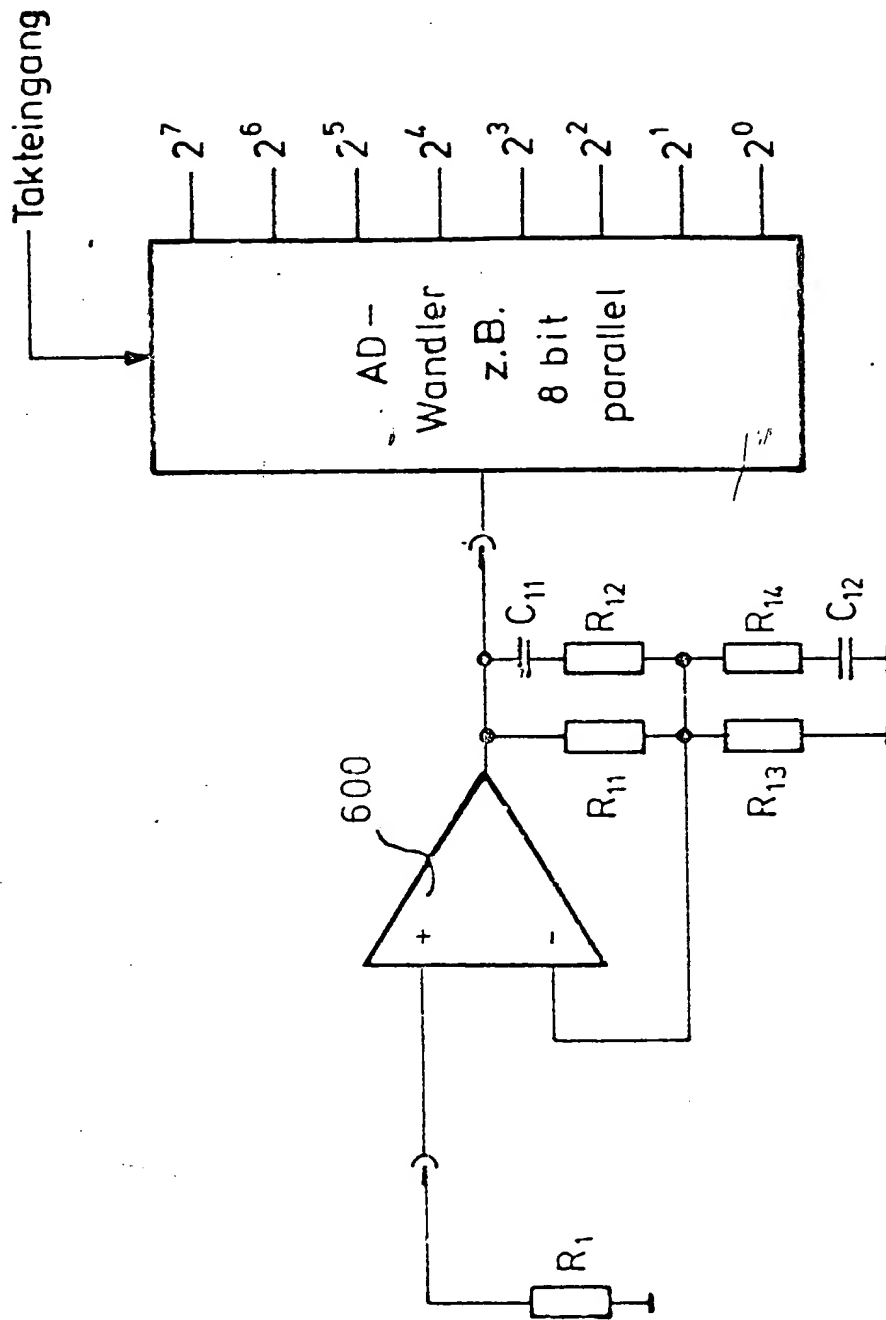


Fig. 6



Europäisches
Patentamt

EUROPÄISCHER RECHERCHENBERICHT

0074422
Nummer der Anmeldung

EP 81107207.3

EINSCHLÄGIGE DOKUMENTE			KLASSIFIKATION DER ANMELDUNG (Int. Cl. 1)
Kategorie	Kennzeichnung des Dokuments mit Angabe, soweit erforderlich, der maßgeblichen Teile	betrifft Anspruch	
A	DE - B - 1 269 157 (TIME) * Spalte 1, Zeilen 7-40 * --	1	G 03 F 5/00 G 03 G 13/26 H 04 N 1/00
A	DE - A1 - 3 005 775 (NIPPON) * Seite 20, Zeile 21 - Seite 22, Zeile 15 * --	1	
A	GB - A - 2 043 392 (COULTER) * Seite 2, Zeilen 49-63; Ansprüche 1, 20 * & DE-A1-3 004 749 -----	1	
			RECHERCHIERTE SACHGEBIETE (Int. Cl. 1)
			G 03 F G 03 G H 04 N
			KATEGORIE DER GENANNTEN DOKUMENTE
			X. von besonderer Bedeutung allein betrachtet Y. von besonderer Bedeutung in Verbindung mit einer anderen Veröffentlichung derselben Kategorie A. technologischer Hintergrund und O. nichtschriftliche Offenbarung P. Zwischenliteratur T. der Erfindung zugrunde liegende Theorien oder Grundsätze E. älteres Patentdokument, das jedoch erst am oder nach dem Anmeldedatum veröffentlicht worden ist D. in der Anmeldung angeführtes Dokument L. aus anderen Gründen angeführtes Dokument
X	Der vorliegende Recherchenbericht wurde für alle Patentansprüche erstellt.		& Mitglied der gleichen Patentfamilie, übereinstimmendes Dokument
Recherchenort WIEN		Abschlußdatum der Recherche C6-04-1982	Prüfer SALTEN